



Automated Detection of Bone Fractures in X-ray Images Using Deep Learning and Ensemble Learning

Basma Balam^{*1}, Atef Eldenfria¹

¹Department of Computer Science, Faculty of Information Technology, Misurata University, Misurata, Libya.

*Corresponding author email: basmafarajbalam@gmail.com

Received: 18-09-2025 | Accepted: 27-11-2025 | Available online: 25-12-2025 | DOI:10.26629/jtr.2025.45

ABSTRACT

Bone fractures are among the most common injuries worldwide and pose a significant challenge for accurate diagnosis, with error rates reaching up to 10%, potentially leading to health complications and delayed treatment. This study aims to develop and evaluate deep learning models for enhancing the accuracy and efficiency of fracture detection, utilizing three primary frameworks: conventional Convolutional Neural Networks (CNNs), the VGG19 architecture, and DenseNet121, with transfer learning leveraging CheXNet-pretrained weights optimized for medical imaging. Preprocessing techniques and hyperparameter optimization using the Hyperband algorithm were applied, and ensemble learning through soft voting was employed to integrate model outputs. The models were trained and evaluated on the FracAtlas dataset, which comprises over 4,000 X-ray images. Results indicated that the conventional CNN achieved an accuracy of 82.89%, although fracture recall was limited to 13%. Both VGG19 and DenseNet121 improved performance balance, achieving area under the curve (AUC) values of 0.79 and 0.81, respectively. The ensemble learning model achieved a performance close to that of the individual models. These findings demonstrate that deep learning can effectively support fracture diagnosis, particularly when incorporating transfer learning. However, challenges such as data imbalance and clinical case variability continue to affect model performance. This study represents a step toward the development of more reliable clinical decision support systems for fracture detection.

Keywords: Bone fractures, X-ray imaging, deep learning, medical diagnosis.

الكشف الآلي عن كسور العظام بالأشعة السينية باستخدام تكنيات التعلم العميق

والتعلم الجماعي

بسمة بلعم¹, عاطف الدنفرية¹

¹قسم علوم حاسوب، كلية تقنية المعلومات، جامعة مصراتة، مصراتة، ليبيا.

ملخص البحث

كسور العظام من أكثر الإصابات شيوعا على مستوى العالم، وتشكل تحديا في التشخيص الدقيق، حيث إن نسبة الخطأ قد تصل إلى 10% مما يؤدي إلى مضاعفات صحية وتأخير العلاج، تهدف هذه الدراسة إلى تطوير وتقديم نماذج تعلم عميق لتحسين دقة وكفاءة

كشف كسور العظام بالاعتماد على ثلاثة أطر رئيسية هي الشبكات العصبية التلaffيفية التقليدية (Convolutional Neural Networks, CNNs) وبنية (VGG19) وبنية (DenseNet121)، مع الاستفادة من التعلم بالنقل (Transfer learning) باستخدام (Hyperparameter) وزان (CheXNet) المهيأ للصور الطبية، وكذلك جرى تطبيق تقنيات المعالجة المسبيقة وضبط المعلمات (Hyperband) لدمج (Soft Voting) (Ensemble Learning) بطريقة (Hyperband)، كما استخدمنا التعلم الجماعي (CNN) حقق دقة بلغت 82.89% إلا أن استدعاء حالات الكسر كان ضعيفاً بنسبة 13%， بينما حسنت نماذج (VGG19) و(DenseNet121) من التوازن في الأداء، حيث بلغت قيم منحنى (Area Under the Curve AUC) 0.79 و 0.81 على التوالي، أما نموذج التعلم الجماعي فقد حقق أداء مقارباً، تشير هذه النتائج إلى أن التعلم العميق قادر على دعم تشخيص كسور العظام، خاصة مع استخدام نماذج (Transfer learning)، إلا أن تحديات مثل: عدم توازن البيانات، وتنوع الحالات السريرية تؤثر على الأداء بشكل كبير، وبذلك تمثل هذه الدراسة خطوة نحو بناء أنظمة دعم قرار سريري أكثر ثقة.

الكلمات الدالة: كسور العظام، الأشعة السينية، التعلم العميق، التشخيص الطبي.

الطبي، لا تزال صور الأشعة السينية محدودة القدرة على إظهار التفاصيل الدقيقة [3]، مما يجعل دقة التشخيص رهينة بخبرة اختصاصي الأشعة، ومع الارتفاع المتزايد في الطلب عليهم تظهر الإحصائيات أنه حتى مع توفر اختصاصي الأشعة أداء اختصاصي الأشعة يقل بسبب تأثير التعب بحلول نهاية يوم العمل [4].

لذلك انطلاقاً من ذلك، تتمحور المشكلة البحثية حول الحاجة إلى تقييم كفاءة نماذج التعلم العميق في الكشف عن كسور العظام باستخدام صور الأشعة السينية، في ظل التحديات المرتبطة بالتشخيص التقليدي؛ ومن هنا تتحدد أسئلة البحث:

- ما مدى دقة النماذج المختلفة للشبكات العصبية التلaffيفية (DenseNet121, VGG19) في الكشف عن كسور العظام؟
- كيف يختلف أداء هذه النماذج من حيث المقاييس الأساسية (Precision، Accuracy، F1-Score، Recall)؟
- ما أثر تقنيات التعلم الجماعي (Ensemble Learning) على تحسين الأداء مقارنة باستخدامها بشكل منفرد؟

1. المقدمة

يتكون الهيكل العظمي للإنسان البالغ من 206 عظام [1]، ورغم قوة العظام وصلابتها، فإنها تظل عرضة للإصابات المختلفة، وعلى رأسها الكسور، ويعرف الكسر بأنه انقطاع كامل أو جزئي في استمرارية العظم؛ يؤدي إلى فقدان الاستقرار الميكانيكي، وقد ينشأ عن أسباب متعددة مثل: السقوط، أو حوادث السيارات، أو الإصابات الرياضية، أو الأمراض المزمنة كمرض هشاشة العظام، وفي لحظة واحدة، قد يؤدي حادث بسيط إلى كسر يغير مسار حياة المريض [2]؛ الأمر الذي يبرز الأهمية الطبية والاجتماعية لهذه الإصابات.

تشير الإحصائيات إلى أن معدل حدوث الكسور مرتفع عالمياً، إذ سجل نحو 178 مليون كسر جديد في عام 2019م بزيادة بلغت 33.4% مقارنة بعام 1990م [3]، وفي المملكة المتحدة مثلاً يتراوح معدل الإصابات بالكسور بين 733 و 4,017 لكل 100,000 شخص سنوياً، بينما تتراوح نسبة الخطأ في التشخيص بين 3% و 10% [4]، وقد يقود التشخيص الخاطئ أو المتأخر إلى مضاعفات خطيرة تشمل الإعاقة الدائمة أو حتى الوفاة [5]، ورغم التطور الكبير في تقنيات التصوير

(Reference CaffeNet network) على مجموعة بيانات مكونة من 256,458 صورة أشعة سينية، (VGG) محققين دقة لا تقل عن 90%، وكان نموذج (VGG) الأفضل بدقة 83% [6] ومع ذلك كان نهجهم محدوداً بالاعتماد على الصور السريرية الفردية، مما دفع الباحثين لاحقاً لاستخدام التصوير متعدد الزوايا وتحسين النماذج.

لذلك حل مشكلة الصور الفردية (Yutoku Yamada et al 2020) من خلال دمج ثلاثة أوضاع تصوير لكسور عظم الفخذ والحبة، حيث استخدم 1,703 صورة شعاعية امامية، و 1,220 صورة شعاعية جانبية، واستخدم مزيج من الموضعين، والتي اخذت صورة واحدة فقط من كل مريض لتجنب الافراط في التجهيز (Overfitting)، محققه دقة مماثلة أو أفضل من دقة الجراحين، حيث بلغت (Precision) و (Recall) نسبة 0.98 لكل منهما [7].

وأظهرت دراسات لاحقة مثل (Kemal Üreten et al 2022) فعالية بنية (GoogleNet)، و (ResNet50)، و (VGG16) خصوصاً في الكشف عن كسور الرسغ، حيث حققت (VGG16) دقة 93.3% و 84% للمجموعتين المختبرتين [8]، وعلى النقيض، أظهرت دراسة (Shinawar Naeem et al 2023) تفوق نماذج (ResNet) على (VGG) في تصنیف كسور أصابع اليد، حيث بلغت دقة 81.9% لنموذج (ResNet) مقارنة بدقة 78.5% لنموذج (VGG) [9]، وتشير هذه الدراسات إلى أن نماذج (CNN) المختلفة وموضع الكسر قد تعطي نتائج متباينة.

كما أبرزت الدراسات أهمية المعالجة المسبقة وتحسين الأداء، فاستخدم (Salih Beyaz et al 2020) الخوارزميات الوراثية لتحسين معلمات (CNN) لكسور عنق الفخذ، وعلى الرغم من مجموعة البيانات الغير متوازنة كانت ابرز نتائج الدراسة 83% (Sensitivity)، و 73% (Specificity) ومع تضمين (GA) زاد هذا

وبناءً على هذه التساؤلات، تطرح فرضيات البحث على النحو الآتي:

- يمكن للنماذج العميق (CNNs, VGG19, DenseNet121) تحقيق دقة عالية في الكشف عن الكسور باستخدام صور الأشعة السينية.
- تؤدي النماذج المتقدمة (VGG19) و (DenseNet121) إلى نتائج أفضل من الشبكات التقليدية (CNN).
- يسهم دمج النماذج عبر تقنيات التعلم الجماعي (Ensemble Learning) في رفع مستوى الأداء الكلي وتحقيق نتائج أكثر استقراراً.

وللإجابة عن هذه التساؤلات، واثبات فرضياتنا اعتمدنا على منهجية تجريبية تضمنت تطوير ثلاثة نماذج تعلم عميق (CNNs, VGG19, DenseNet121) وتقدير أدائها، مع تطبيق أسلوب التعلم الجماعي بطريقة (Soft Voting) لتعزيز النتائج، وتم تدريب النماذج باستخدام صور أشعة سينية للعظام، مع الاستعانة بخوارزميات الضبط الدقيق (Fine-Tuning)، و اختيار المعلمات الفائقة المثلث باستخدام خوارزمية (Hyperband).

وبذلك تسعى هذه الدراسة إلى الربط بين الإمكانيات النظرية للتعلم العميق وتطبيقاته العملية في الطب السريري، من خلال تقديم تقدير مقارن شامل لأداء النماذج، واستكشاف حدودها؛ مما يعزز جودة الرعاية الصحية ويفصل من المخاطر المرتبطة بالتشخيص الخاطئ أو المتأخر.

2.1 الدراسات السابقة

ركزت التطورات الحديثة في التعلم العميق لاكتشاف كسور العظام على الاستفادة من هيكل الشبكات العصبية التلاغيفية (CNN) وتحسين أساليب المعالجة المسبقة، بالإضافة إلى استكشاف تقنيات التعلم الجماعي لتعزيز الدقة السريرية.

في دراسة أجراها (Jakub Ola et al 2017) استخدم خمس شبكات عميق مثل: (VGG)، و (BVLG)، و

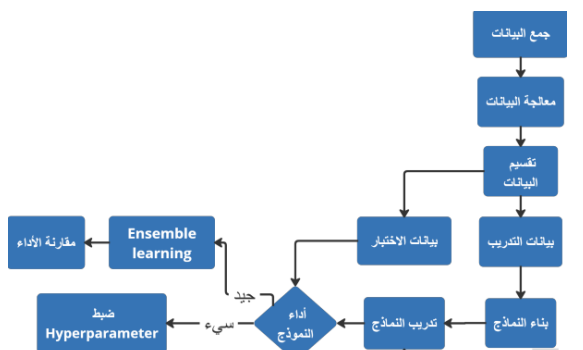
(CheXNet)، والاستفادة من أوزان (Hyperband) المهيأة للصور الطبية، كما سيتم تطبيق منهجية الدمج الجماعي (Soft Voting Ensemble)؛ لتحسين دقة الكشف، مع التركيز على معالجة تحديات توازن البيانات، وتعزيز قدرة النماذج على التعميم على مجموعات بيانات متعددة.

هذه الدراسة خطوة نحو تطوير أنظمة كشف آلي أكثر دقة وموثوقية لكسور العظام، مع قدرة أكبر على التكيف والتعميم في البيئات السريرية المستقبلية.

2. الجانب العملي والمنهجية

اتبعنا منهج شامل حيث بدأنا بالحصول على بيانات الأشعة السينية التي تشمل حالات الكسر وغير الكسر، ثم تم تطبيق تقنيات المعالجة المسبقة لضمان جودة البيانات؛ وبالتالي ضمان جودة النماذج، ثم استخدمنا البيانات المعالجة لتدريب واختبار ثلاث هيأكل تعلم عميق: الشبكة العصبية التلaffيفية (CNN)، و (VGG19)، و (DenseNet121) ثم استخدمنا التعلم الجماعي (Soft Voting)؛ لدمج نقاط القوة في النماذج الثلاثة.

وتم تقييم أداء النماذج الفردية والمقارنة فيما بينها؛ وبالتالي قد سمح هذا النهج بإجراء تقييم شامل لنقاط القوة لكل نموذج في سياق اكتشاف كسور العظام من صور الأشعة السينية.



شكل 1: منهجية الدراسة.

المعدل بنسبة 1.6%， كما قالت الدراسة بتحويل الصور إلى تدرجات رمادية، وقص الصور [10]، وأكد اكتشاف Tien Huang et al (2023) كسر الصلع بواسطة (AlexNet)، أيضا على المعالجة المسبقة، باستخدام (DenseNet) على مجموعة بيانات من 2,000 صورة أشعة سينية للوصول إلى دقة (Accuracy) تبلغ حوالي 92% على الرغم من تحيزات مجموعة البيانات [11]، وبالتالي أظهرت النتائج أن التجهيز المسبق للصور وتحسين الشبكات يزيد من الدقة، خصوصا عند التعامل مع بيانات غير متوازنة أو تحتوي على موضوعات.

واعتمد الباحثون أيضا التعلم الجماعي (Ensemble Learning) [2021] (Fatih Usal et al) على تقنيات التعلم الجماعي (Ensemble Learning) على مجموعة بيانات (MURA)، حيث جمعوا نماذج مثل: (VGG)، و (ResNet)، و (DenseNet) مع خطوات Ayesha Tahir et al [2024]، وبالمثل قام (MobileNetV2) بتحسين التعلم الجماعي بشكل أكبر من خلال الجمع بين (VGG16)، (InceptionV3)، (ResNet50)، (91.62%)، (92.96%) و (92.14%) على (F1 Score)، و (Recall)، و (Accuracy) على التوالي لنموذج المجموعة [13].

على الرغم من التقدم الكبير في اكتشاف كسور العظام باستخدام شبكات (CNN) والتعلم الجماعي، فإن الدراسات السابقة غالبا ما اقتصرت على نوع واحد من الصور السريرية، أو لم تستعد بالكامل من تقنيات المعالجة المسبقة، أو لم تطبق ضبطا متقدما للمعلمات، كما أن قابلية تعميم النماذج على بيانات متعددة كانت محدودة.

تسعى هذه الدراسة إلى معالجة هذه القيود من خلال دمج ثلاثة نماذج رئيسية للتعلم العميق (VGG19، DenseNet121، CNN التقليدي)، مع استخدام الضبط التلقائي للمعلمات عبر خوارزمية

ووقع الاختيار لقاعدة بيانات (FracAtlas)؛ لاستخدامها في دراستنا نظراً لطبيتها الشاملة، وموثوقية تعليلاتها، وتتنوعها الذي يعكس ظروفًا سريرية حقيقية، إضافة إلى التزامها بسرية المرضى؛ مما يسمح باستخدامها لأغراض البحث دون المساس بسرية المرضى [14].

2.2 معالحة السانات

حضرت البيانات لمرحلة معالجة؛ لضمان جودة وموثوقية النماذج، شملت هذه المرحلة أولاً اكتشاف الصور التالفة وإزالتها، حيث تم فحص جميع صور الأشعة السينية باستخدام (TensorFlow)، وتم تحديد 59 صورة تالفة استبعدت من مجموعة البيانات؛ لمنع تأثيرها السلبي على التدريب، بعد ذلك تم تطبيق الصور (Normalization) عن طريق تقسيم قيم البكسل التي تتراوح عادة بين 0 و 255، [15] على 255 لتحويلها إلى نطاق 1-0؛ مما يحقق تجانس البيانات ويسهل تدريب الشبكات العصبية[16]، كما تم توحيد أبعاد جميع الصور لتصبح 224×224 بكسل؛ وهو الحجم المطلوب لنماذج DenseNet121 (VGG19) والأمر الذي حافظ على التفاصيل الدقيقة للكسور وساهم في تحسين الكفاءة الحاسوبية وسرعة التدريب، بعد معالجة الصور تم تقسيم مجموعة البيانات إلى ثلاثة مجموعات رئيسية: التدريب بنسبة 70%， والتحقق بنسبة 20% والاختبار بنسبة 10% مع خلط البيانات لضمان توزيع عشوائي وتقليل أي تحيز محتمل[17].

ونظراً لوجود اختلال واضح في توازن الفئات، حيث كانت 3,307 صورة غير مكسورة مقابل 717 صورة مكسورة، تم في البداية تجربة (Data Augmentation) بهدف زيادة تنوع العينات وتعويض النقص في الفئة الأقل تمثيلاً، إلا أن النتائج لم تكن مرضية؛ لذلك تم حساب أوزان الفئات من مكتبة (Scikit-Learn) باستخدام أداة (compute_class_weight) وضبط الوضع على (Balanced)، مما أدى إلى أوزان تقريبية 0.608 للفئة غير المكسورة و 2.806 للفئة المكسورة،

وستقدم الأقسام التالية شرحاً لكل خطوة في إطارنا المنهجي، مما يضمن إمكانية إعادة الإنتاج وتسهيل الأبحاث المستقلة في هذا المجال.

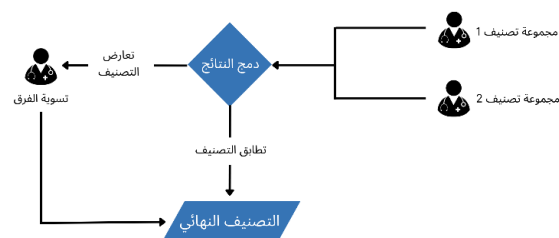
2.1 مجموعه البيانات

استخدمنا مجموعة بيانات (FracAtlas) التي تضم 4,083 صورة أشعة سينية للعظام، جمعت خلال عامي 2021م و2022م من ثلاثة مستشفيات ومراكز تشخيص في بنغلادش، صممت المجموعة لمهام تصنيف الكسور، وتحديد مواقعها، وتقسيمها، وتتميز بتعليقات توضيحية عالية الجودة تغطي أجزاء تشريحية متنوعة مثل: الكتف، واللسان، والورك، والاصبع، واليد [4].

هذه المجموعة متاحة للاستخدام العام تحت رخصة Creative Commons Attribution 4.0 (CC-BY 4.0)، مما يتيح نسخها ومشاركتها وإعادة تشكيلها أو البناء عليها شريطة نسب المصدر.

تحتوي البيانات على 717 صورة بها كسور (922 حالة كسر) مقابل 3,366 صورة دون كسور، مع تنويع ديمغرافي يشمل مرضى بآعمار بين 8أشهر و78 عاما، وتوزيع جنسي نسبته 62% ذكور و38% إناث، تتضمن الصور أحيانا وجهات نظر متعددة للعضو، وأجهزة تثبيت العظام (Orthopedic Fixation Devices)، مما يعكس واقعية البيانات وقابليتها للتطبيق السريري [14].

وجرى تصنیف البيانات بواسطة اثنین من اختصاصي الأشعة، وفي حال الاختلاف احيلت الصور على جراح عظام خیر لضمان الدقة وموثوقیة التصنیفات النهائیة.



شكل 2: عملية تصنیف البيانات.

النموذج وتقليل الإفراط في التعلم (Overfitting)، أخيراً تكون طبقة الإخراج من خلية واحدة مع دالة تنشيط (Sigmoid)، ما يسمح بالتصنيف الثنائي لصور الأشعة السينية إلى وجود كسر أو عدمه.

نقوم بعدها بتجميع النموذج (Model Compilation)، فتم استخدام محسن (AdamW) بمعدل تعلم ابتدائي 0.0001، ومعامل (Weight Decay) مقداره 0.0001، دالة خسارة (Binary Cross Entropy) 0.0001، دالة خسارة (Validation Set) وإيقاف التدريب لملاءمتها مع التصنيف الثنائي، وكمعايير تقييم تم تضمين (AUC) لمراقبة الأداء أثناء التدريب.

ولضمان التوازن بين التعلم الجيد ومنع الإفراط في التعلم؛ يتم استخدام (Early Stopping) لمراقبة الأداء على مجموعة التحقق (Validation Set) وإيقاف التدريب عند تدهور الأداء، مع تحديد 200 كحد أقصى لعدد الدورات (Epochs).

2.2.3 نماذج التعلم بالنقل (VGG19) و (DenseNet121)

تستخدم هذه الدراسة التعلم بالنقل (Transfer Learning) تحديداً (VGG19) و (DenseNet121) للكشف عن كسور العظام، حيث (VGG19) و (DenseNet121) هما شبكتين عصبيتين ملتويتان عميقتان مدربتان مسبقاً عادة على مجموعة بيانات (ImageNet)؛ وبالتالي الاستفادة من قدرتهما على التعرف على الميزات العامة المكتسبة من مجموعة البيانات الضخمة التي تتكون من صور طبيعية وتكيفها للعمل على الصور الطبيعية.

تم تهيئة أوزان النموذجين في دراستنا باستخدام نموذج (CheXNet) بدلاً من الاعتماد على أوزان (ImageNet)؛ والسبب في ذلك أن التدريب باستخدام أوزان (ImageNet) لم يحقق نتائج مرتفعة، وهو أمر منطقي نظراً لاختلاف طبيعة الصور الطبيعية في (ImageNet) عن الصور الطبيعية، وعلى العكس من

وتم دمج هذه الأوزان في عملية التدريب؛ لتحسين قدرة النموذج على تعلم الفئة الأقل تمثيلاً، وتعزيز دقة اكتشاف الكسور [18].

2.3 التعلم العميق في تصنیف صور الأشعة السينية

في هذه الدراسة استخدمنا ثلاثة أطر رئيسية للتعلم العميق لتصنيف صور الأشعة السينية واكتشاف كسور العظام: (CNN)، و (VGG19)، و (DenseNet121).

1.2.3 الشبكة العصبية التلaffيفية (CNN)

تم بناء شبكة عصبية تلaffيفية (CNN) باستخدام أربع كتل تلaffيفية متتالية، بحيث تدرج عدد المرشحات (Convolutional Blocks) من 32 إلى 256، مع الحفاظ على بنية موحدة لكل كتلة.

كل كتلة تحتوي على طبقي (Conv2D)، يلي كل طبقة (Batch Normalization)؛ لزيادة سرعة التدريب، ثم تفعيل (LeakyReLU) بمعامل 0.1 لإدخال اللاخطية، بعد طبقي (Conv2D)، يتم تقليل الأبعاد المكانية باستخدام (MaxPooling2D)، مع إدراج (Spatial Dropout2D) لتقليل الإفراط في التعلم (Overfitting)، حيث تدرج نسب (Dropout) من 0.25 في الكتلة الأولى إلى 0.5 في الكتلة الرابعة.

بعد الكتل التلaffيفية، تستخدم طبقة (Global Average Pooling) لجمع المعلومات المكانية وتقليل الأبعاد مع الحفاظ على السمات الأساسية المهمة؛ مما يقلل خطر الإفراط في التعلم (Overfitting) ويراقب على تمثيلات الميزات الرئيسية.

ثم تأتي رأس التصنيف التي تتضمن طبقتين كثيفتين (Dense) بعد وحدات 256 و128 على التوالي، مع تطبيق (L2 Regularization)، و (LeakyReLU)، و (Normalization) للتنشيط، بالإضافة إلى (Dropout) بمعدلات 0.5 و0.3 لضبط

3 طبقة (Dropout) للتنظيم بمعدل بين 0.2 و 0.5.
 4 طبقة (Dense) أخرى للإخراج مع خلية واحدة وتنشيط (Sigmoid).

وبعد تحديد البنية المعمارية للنموذج وإضافة رأس التصنيف المخصص، تأتي الخطوة التالية المتمثلة في ضبط المعلمات الفائقة (Hyperparameter tuning)، حيث يعتمد أداء نماذج التعلم العميق بشكل كبير على اختيار المعلمات الفائقة (Hyperparameters)، المناسبة التي تضمن الوصول إلى أفضل النتائج الممكنة؛ ولتحقيق ذلك تم الاستعانة بخوارزمية (Hyperband)، المدمجة في مكتبة (Keras Tuner)، حيث تعمل هذه الخوارزمية على اختيار الأنسب منها بصورة آلية.

تشمل عملية الضبط اختيار مجموعة من المعلمات الأساسية، وهي:

- عدد الوحدات في الطبقة الكثيفة (Dense Layer) والتي تتراوح من 128 إلى 512.
- معدل الإسقاط (Dropout Rate) والتي بين 0.2 و 0.5.
- اختيار المحسن (Adam)، أو (RMSprop)، أو (SGD).
- معدل التعلم للمحسن التي تم اختياره.

وفي النهاية يتم تجميع النماذجين باستخدام (Binary Cross Entropy) كدالة خسارة، والتي تتناسب مع طبيعة التصنيف الثنائي لمهمة اكتشاف كسر العظام، ويتم تحديد المحسن تلقائياً خلال عملية الضبط مع (AUC) كمقاييس تقييم.

3.2.3 التعلم الجماعي

في هذه الدراسة طبقنا نهج التعلم الجماعي (Ensemble Learning) لتعزيز دقة اكتشاف كسور العظام، فيجمع التعلم الجماعي بين النتائج من نماذج

ذلك فإن أوزان (ChexNet) صممت خصيصاً لتحليل صور الأشعة السينية؛ مما يجعله نقطة انطلاق مناسبة لاستخراج الميزات الطبية الدقيقة وتحسين أداء النموذج.

في المرحلة الأولى، تم تجميد الطبقات الأساسية للحفظ على الأوزان المدرية مسبقاً، بينما جرى إلغاء التجميد للطبقات العليا من النماذجين الإجراء عملية الضبط الدقيق (Fine-Tuning).

- بدأ إلغاء التجميد في 19 VGG من الطبقة الثامنة فما فوق.
- بدأ إلغاء التجميد في DenseNet121 من الطبقة التاسعة والخمسين فما فوق.

يعكس هذا النهج حقيقة أن الطبقات الدنيا للشبكات العصبية التاليفية تلتقط ميزات عامة منخفضة المستوى مثل الحواف والأشكال البسيطة وهي قابلة لإعادة الاستخدام في مهام متعددة، بينما الطبقات العليا مسؤولة عن الميزات الأكثر تخصصاً، لذلك أعيد تدريبيها لتتكيف مع طبيعة صور كسور العظام وتعلم أنماطاً جديدة مرتبطة بها، وبهذا يحقق الضبط الدقيق توازناً بين الاستفادة من المعرفة السابقة المخزنة في الأوزان المدرية مسبقاً وبين تخصيص النموذج المهمة التصنيف الطبي.



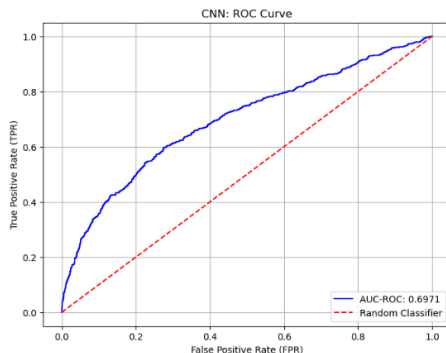
شكل 3: عملية (Transformer fine-tuning). (3).

فوق القاعدة (VGG19 و DenseNet121) أضيف رأس تصنيف مخصص لمهمة التصنيف الثنائي وجود كسر أو عدمه، يتكون من:

1 طبقة (Flatten) لتحويل خرائط الميزات ثنائية الأبعاد إلى متوجه أحادي الأبعاد.

2 طبقة (Dense) بعدد قابل للضبط من الوحدات (ReLU) يتراوح من 128 إلى 512 وتنشيط (ReLU).

للمودج (ROC) 0.6971؛ مما يدل على قدرة متوسطة على التمييز بين الفئتين.



شكل 4: منحنى (ROC) لمودج (CNN).

أوضحت مصفوفة الارتباط دقة المودج بشكل أكبر، حيث تم تصنیف 2,827 حالة غير كسر بشكل صحيح، و59 حالة منها فقط تم تصنیفها بشكل خاطئ ككسور (إيجابيات كاذبة)، في حين تم تصنیف 84 حالة كسر بشكل صحيح، بينما تم تصنیف 542 حالة كسر على أنها غير كسر (سلبيات كاذبة)؛ هذا التوزیع يبرز التحدی الذي يواجه المودج في تحیید جميع حالات الكسر بدقة.

		القيم التنبؤية	
		لا يوجد كسر	كسر
القيم الحقيقة	لا يوجد كسر	2827	59
	كسر	542	84

شكل 5: مصفوفة الارتباط لمودج (CNN).

2.3.1 VGG19 بنية

قمنا بضبط نموذج (VGG19) للكشف عن كسر العظام، فحدد ضبط المعلمات الفائقة (Hyperparameter tuning) تكوين لرأس التصنیف طبقة كثيفة بها 256 وحدة (Units)، ومعدل

متعددة لاتخاذ قرار نهائی؛ وبالتالي الاستفادة من نقاط قوتها الجماعية، لذلك استخدمنا طريقة التصویت الناعم (Soft Voting) التي تجمع بين تنبؤات نماذج التعلم العمیق الثلاثة: (CNN) و (VGG19) و (DenseNet121) ويتم تتفییز ذلك على النحو التالي:

1. يقوم كل من النماذج الثلاثة (CNN)، و (VGG19) و (DenseNet121) بتویید احتمالية إذا كانت صورة الأشعة تحتی على كسر أو لا.
2. يتم دمج هذه الاحتمالات وأخذ المتوسط المرجح لها.
3. يعتمد التصنیف النهائي على أعلى قيمة احتمال (كسر أو غير كسر)؛ مما يضمن الاستفادة من نقاط قویة كل نموذج على حدة.

3. النتائج

لتقییم ومقارنة الاداء بين النماذج، تم تقییم النماذج باستخدام (Precision)، و (Accuracy)، و (AUC-ROC)، و (Recall)، و (F1 Score)، لإعطاء صورة شاملة عن قدرتها على تمییز صور الكسور من غيرها؛ وبذلك يبرز هذا التحلیل نقاط القویة والضعف لكل نموذج ويساعد في اختيار الأنسب للتطبيق السريري.

3.1 أداء النماذج الفردیة

1.3.1 الشبکة العصییة التلکافییة (CNN)

حقق النموذج (Accuracy) بنسبة 82.89%， ومع ذلك هذه (Accuracy) منحازة؛ بسبب عدم توازن البيانات حيث بالنسبة للفئة التي لا يوجد بها كسر أظهر (Recall) بنسبة 84%， و (Precision) بنسبة 98%؛ مما يشير إلى قدرته العالية على تجنب الإيجابيات الكاذبة، أما بالنسبة لفئة الكسور، فقد بلغت (Recall) 13% و (Precision) 59% فقط، وهو ما يشير إلى صعوبة في التقاط حالات الكسر، وأدى ذلك إلى (F1 Score) منخفضة 22% وبلغت (AUC-ROC) إلى 0.6971.

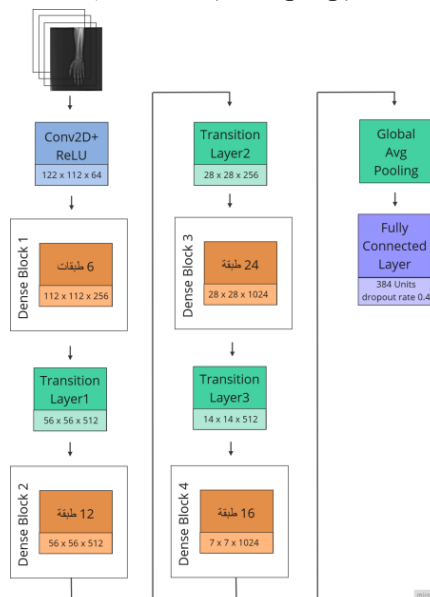
وأكملت مصفوفة الارتباط هذه النتائج، حيث حدد نموذج (VGG19) بشكل صحيح 440 حالة غير كسر و 60 حالة كسر، وتم تصنيف 59 حالة غير كسر بشكل خاطئ على أنها كسور (إيجابيات كاذبة)، وتم تصنيف 57 حالة كسر بشكل خاطئ على أنها غير كسور (سلبيات كاذبة).

		القيم التنبؤية	
		لا يوجد كسر	كسر
القيم الحقيقية	لا يوجد كسر	440	59
	كسر	57	60

شكل 8: مصفوفة الارتباط لنموذج (VGG19)

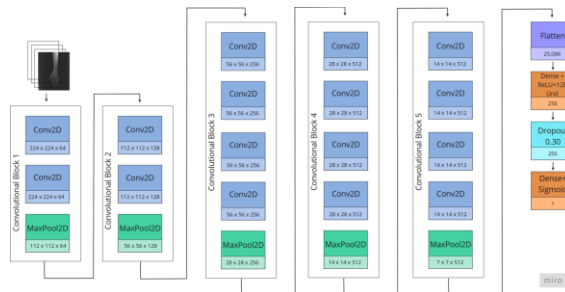
2.3.1 بنية DenseNet121

قمنا بضبط نموذج (DenseNet121) القائم على التعلم بالنقل لتصنيف صور الأشعة السينية للكشف عن كسور العظام، وحددت عملية ضبط المعلمات الفائقة (Hyperparameter tuning) التكوين المناسب لرأس تصنيف (DenseNet121)، فتضمن طبقة كثيفة تحتوي على 384 وحدة (Units)، ومعدل 0.4 (RMSprop) ومحسن (RMSprop) بمعدل تعلم 0.001.



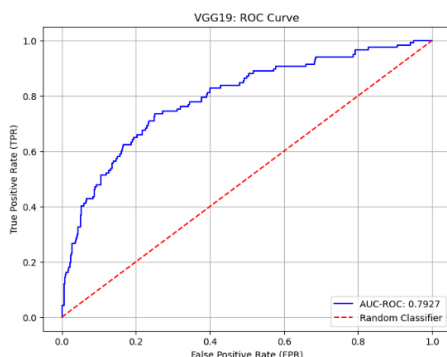
شكل 9: بنية (DenseNet121).

(RMSprop)، ومحسن (Dropout Rate) 0.30 بمعدل تعلم 0.0001.



شكل 6: بنية (VGG19).

وأظهر نموذج (VGG19) أداء جيداً على مجموعة بيانات الاختبار، فحقق دقة (Accuracy) بنسبة 81.17%， أما بالنسبة لفئة غير الكسر كانت (Precision) 88%، و (Recall) 89% على التوالي؛ مما أدى إلى (F1-Score) بنسبة 88%، مما يدل على (Precision) بالنسبة لفئة غير الكسر، حق النموذج (Recall) بنسبة 50% وتدكر (ROC) بنسبة 51%، بلغت (Score) 51%، وأظهر منحني (ROC) أن النموذج يتمتع بقدرة تصنيفية جيدة، حيث بلغ معدل (AUC-ROC) حوالي 0.7927؛ وهو ما يعكس توازناً نسبياً في التمييز بين الفئتين، إلا أن هناك مجالاً لتحسين التمييز خصوصاً لفئة الكسر.



شكل 7: منحني (ROC) لنموذج (VGG19).

تشير هذه النتائج إلى أن النموذج تمكّن من تصنيف عدد كبير من الحالات بشكل صحيح، إلا أن الأداء ما زال أفضل مع فئة غير الكسر مقارنة بفئة الكسر، مما يعني أن بعض حالات الكسور قد لا تكتشف، وهو أمر بالغ الأهمية في التطبيقات الطبية ويتطلب تحسيناً مستقبلياً.

3.2 تأثير التعلم الجماعي

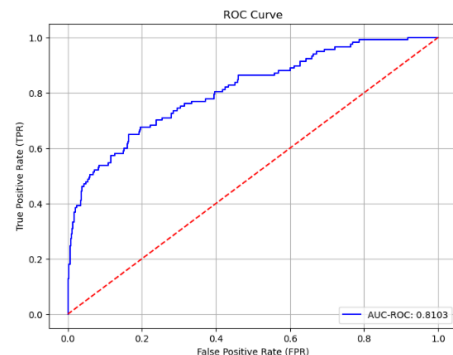
أظهرت نتائج نموذج التعلم الجماعي تحسناً ليس بالكبير مقارنة بالنمذاج الفردية، حيث بلغت (Precision) 82.14%، أما (Accuracy) 82.14% لفئة غير الكسر و 57% لفئة الكسر، مما يعكس قوة النموذج في تمييز الحالات السليمة أكثر من الكسور، بلغ (Recall) 89% لغير الكسر و 54% للكسر، ما يشير إلى قدرة عالية على اكتشاف غير الكسور مقابل ضعف نسبي في اكتشاف الكسور، كما حقق النموذج (F1 Score) بلغت 82.8%.

أظهرت مصفوفة الارتباك أن النموذج صنف 438 حالة غير كسر بشكل صحيح مقابل 52 حالة إيجابية كاذبة، بينما اكتشف 68 حالة كسر صحيحة مقابل 58 حالة سلبية كاذبة، توضح هذه النتائج أن النموذج يتمتع بدقة أعلى في التعرف على الحالات السليمة مقارنة بالحالات المصابة، مما يكشف عن تحدي عدم التوازن في الأداء، ورغم ذلك فإن دمج هياكل مثل: (CNN)، (DenseNet121)، (VGG19)، و (DenseNet121) يوفر أساساً مهماً لتحسين الكشف عن الكسور وتعزيز إمكانية التطبيق السريري بعد إجراء تحسينات إضافية.

		القيم التنبؤية	
		كسر	لا يوجد كسر
القيم الحقيقية	لا يوجد كسر	438	52
	كسر	58	68

شكل 12: مصفوفة الارتباك للتعلم الجماعي (Learning Ensemble).

في مجموعة بيانات الاختبار، أظهرت (Accuracy) DenseNet121 (82.14%) أداءً جيداً، محقق دقة (Recall) 90% و (Precision) 88%، مما أدى إلى (F1-Score) 53%، مع (F1 Score) 57% مما أدى إلى (AUC-ROC) 55%، كما حقق النموذج (AUC-ROC) 81%، مما يعني قدرة النموذج على التمييز بين الصور التي تحتوي على كسور وتلك غير المكسورة.



شكل 10: منحنى (ROC) لنموذج (DenseNet121).

كشفت مصفوفة الارتباك عن تمكن (DenseNet121) من تحديد 439 حالة غير مكسورة 67 حالة كسر بشكل صحيح، ومع ذلك كان هناك 60 نتيجة تصنيف صور غير مكسورة بشكل خاطئ على أنها كسور (إيجابية كاذبة)، و 50 نتيجة تصنيف الكسور بشكل خاطئ على أنها غير كسور (سلبية كاذبة).

		القيم التنبؤية	
		كسر	لا يوجد كسر
القيم الحقيقية	لا يوجد كسر	439	60
	كسر	50	67

شكل 11: مصفوفة الارتباك لنموذج (DenseNet121).

المعتمدة على التعلم بالنقل مثل: (VGG19)، و (DenseNet121)، أداء أكثر توازناً، إذ حسنت من قدرة النموذج على التمييز بين الفئتين مع تحقيق قيمة (AUC-ROC) مرتفعة نسبياً، مما يعكس جدوى الاستفادة من الأوزان المدربة مسبقاً على بيانات طيبة.

كما أن نموذج التعلم الجماعي (Ensemble Learning) وفر أداء مقارباً للنماذج الفردية مع بعض التحسن في مقاييس التوازن بين الدقة والتذكر، إلا أن الفائدة كانت محدودة، وتظهر هذه النتائج أن التحدي الرئيسي يكمن في تحسين اكتشاف حالات الكسر، حيث تمثل النماذج إلى تفضيل الحالات السليمة على حساب الحالات المرضية.

ويرجع السبب الأساسي على الأرجح إلى عدم توازن البيانات، رغم تطبيق بعض الدراسات لاستراتيجيات للتغلب على هذه المشكلة، إلا أن أثراها ظل واضحاً في النتائج، كما أن تنوع البيانات ديموغرافي، ووجود بعض الصور التي تحتوي على أجهزة ثبيت العظام (Orthopedic Fixation Devices)، قد ساهم في ضعف الأداء العام للنماذج، وعلى النقيض من ذلك، ركزت الدراسات الأخرى غالباً على جانب محدد أو عضو واحد، أو لم تتوفر التنوع الذي توفره قاعدة البيانات المستخدمة في هذه الدراسة، مما قد يفسر ظهور نتائج عالية في هذه الدراسات مع ضعف قابلية تطبيقها سريرياً على بيانات أكثر تنوعاً، توضح هذه النقاط التحديات العملية التي تواجه تطبيق نماذج الذكاء الاصطناعي سريرياً، وهو ما يميز هذا البحث حيث يسعى إلى تقييم نتائج الذكاء الاصطناعي من التجربة السريرية الفعلية؛ مما يعزز دقة وكفاءة تشخيص كسور العظام في البيئات الطبيعية الواقعية.

تؤكد هذه الدراسة على أن تطوير تقنيات موازنة الفئات أثناء التدريب وتحسين استراتيجيات الضبط الدقيق، ودمج تقنيات متقدمة، قد يسهم في تعزيز قدرة النماذج على اكتشاف الكسور بدقة أعلى، وبذلك تمثل النتائج خطوة

3.3 التحليل المقارن للنماذج

جدول رقم (1): مقارنة دقة النماذج.

Ensemble Learning	DenseNet121	VGG19	CNN	المقياس
%82.14	%82.14	%81.17	%82.89	Accuracy

جدول رقم (2): نتائج النماذج لفئة غير الكسور.

Ensemble Learning	DenseNet121	VGG19	CNN	المقياس
%88	%90	%89	%84	Precision
%89	%88	%98	%98	Recall
%89	%89	%88	%90	F1-Score

جدول رقم (3): نتائج النماذج لفئة الكسور.

Ensemble Learning	DenseNet121	VGG19	CNN	المقياس
%57	%53	%50	%59	Precision
%54	%57	%51	%13	Recall
%55	%55	%51	%22	F1-Score

4. الاستنتاجات

أظهرت نتائج التقييم أن النماذج المدروسة تمتلك قدرة متفاوتة على تمييز صور كسور العظام من الصور السليمة، حيث برزت جميعها بأداء جيد على فئة الصور غير المكسورة مقابل ضعف نسبي في اكتشاف حالات الكسر، النموذج القائم على الشبكة العصبية التاليفية (CNN) حقق أعلى دقة إجمالية، إلا أنه أظهر قصوراً واضحاً في استدعاء حالات الكسر، وهو ما يعكس تأثير عدم توازن البيانات؛ في المقابل أظهرت النماذج

6. المراجع

- [1] Medical News Today. Accessed 2024 Aug 28. Available from: <https://www.medicalnewstoday.com/articles/32044>
- [2] Bigham-Sadegh A, Oryan A. Basic concepts regarding fracture healing and the current options and future directions in managing bone fractures. *Int Wound J.* 2015;12(3):238–47. doi:10.1111/iwj.12231.
- [3] منظمة الصحة العالمية. الكسور الناجمة عن هشاشة العظام. Accessed 2025 Jan 7. Available from: <https://www.who.int/ar/news-room/fact-sheets/detail/fragility-fractures>
- [4] Kuo RYL, et al. Artificial Intelligence in Fracture Detection: A Systematic Review and Meta-Analysis. *Radiology.* 2022;304(1):50–62. doi:10.1148/radiol.211785.
- [5] Tanzi L, Vezzetti E, Moreno R, Moos S. X-Ray Bone Fracture Classification Using Deep Learning: A Baseline for Designing a Reliable Approach. *Appl Sci.* 2020;10(4):1507. doi:10.3390/app10041507.
- [6] Olczak J, et al. Artificial intelligence for analyzing orthopedic trauma radiographs: Deep learning algorithms—are they on par with humans for diagnosing fractures? *Acta Orthop.* 2017;88(6):581–6. doi:10.1080/17453674.2017.1344459.
- [7] Yamada Y, et al. Automated classification of hip fractures using deep convolutional neural networks with orthopedic surgeon-level accuracy: ensemble decision-making with antero-posterior and lateral radiographs. *Acta Orthop.* 2020;91(6):699–704. doi:10.1080/17453674.2020.1803664.
- [8] Üreten K. Use of deep learning methods for hand fractures detection from plain hand radiographs. *Turk J Trauma Emerg Surg.* 2020. doi:10.14744/tjtes.2020.06944.
- [9] Naeem S, Naseer A, Rehman SU, Gruhn V, Akram S. Enhancing Finger Fracture Diagnosis: A Deep Learning Approach Using ResNet and VGG. 2023 Nov 30. doi:10.20944/preprints202311.1990.v1.
- [10] Beyaz S. Femoral neck fracture detection in X-ray images using deep learning and genetic algorithm approaches. *Jt Dis Relat Surg.* 2020;31(2):175–83. doi:10.5606/ehc.2020.72163.
- [11] Huang S-T, Liu L-R, Chiu H-W, Huang M-Y, Tsai M-F. Deep convolutional neural network for rib fracture recognition on chest radiographs. *Front Med.* 2023;10:1178798. doi:10.3389/fmed.2023.1178798.

مهمة نحو بناء أنظمة دعم قرار سريري موثوقة تساعد الأطباء في تشخيص كسور العظام من صور الأشعة السينية بشكل أكثر دقة وكفاءة.

5. التوصيات

استناداً إلى نتائج هذا الدراسة أن تقنيات التعلم العميق أظهرت نتائج واعدة في تصنيف صور الأشعة السينية واكتشاف الكسور، ومع ذلك هناك فرص للتطوير، ومن هنا تبرز التوصيات التالية:

- توسيع قاعدة البيانات: زيادة حجم البيانات وتطبيق المنهجية على أنواع مختلفة من طرق التصوير الطبي.
- تحقيق التوازن: استخدام بيانات أكثر توازناً، عبر توظيف أدوات وأساليب مختلفة لمعالجة عدم التوازن في العينات.
- تنويع النماذج: تجربة خوارزميات وأطر تعلم عميق أخرى تختلف عن النماذج المستخدمة في هذه الدراسة؛ وذلك لاختبار الأداء من زوايا متعددة وتحسين جودة النتائج.
- اختبارات سريرية: إجراء تجارب واسعة قبل اعتماد النماذج في البيانات الطبية للتأكد من موثوقيتها.
- اختبارات الدلالة الإحصائية: تطبيق اختبارات مثل: (Bootstrapping) و(McNemar) للتحقق من الفروق الإحصائية بين النماذج.
- التحقق الخارجي ونقل التعلم التكيفي (Domain Adaptation): اختبار النماذج على بيانات من مؤسسات ومصادر مختلفة، مع تطبيق تقنيات (Domain Adaptation)؛ للتأكد من قدرة النموذج على التعلم في بيئات طبية متعددة.
- توجيه الأطباء: التأكيد على دور هذه النماذج كأداة معايدة مكملة للخبرة الطبية وليس بديلاً عنها.

إن تنفيذ هذه التوصيات من شأنه أن يسهم في تطوير أنظمة الكشف الآلي عن كسور العظام في صور الأشعة السينية، وتعزيز فاعليتها في البيانات السريرية الواقعية.

- [12] Uysal F, Hardalaç F, Peker O, Tolunay T, Tokgöz N. Classification of Shoulder X-ray Images with Deep Learning Ensemble Models. *Appl Sci*. 2021;11(6):2723. doi:10.3390/app11062723.
- [13] Tahir A, Saadia A, Khan K, Gul A, Qahmash A, Akram RN. Enhancing Diagnosis: Ensemble deep learning model for fracture detection using X-ray images. *Clin Radiol*. 2024 Aug;S0009926024004197. doi:10.1016/j.crad.2024.08.006.
- [14] Abedeen I, Rahman MA, Protyasha FZ, Ahmed T, Chowdhury TM, Shatabda S. FracAtlas: A Dataset for Fracture Classification, Localization and Segmentation of Musculoskeletal Radiographs. *Sci Data*. 2023;10(1):521. doi:10.1038/s41597-023-02432-4.
- [15] Albahadily HK, Tsviatkou VY, Kanapelka VK. Grayscale image compression using bit plane slicing and developed RLE algorithms. *Int J Adv Res Comput Commun Eng*. 2017 Feb;6:309-14.
- [16] Ahmed HA, Muhammad Ali PJ, Faeq AK, Abdullah SM. An Investigation on Disparity Responds of Machine Learning Algorithms to Data Normalization Method. *ARO Sci J Koya Univ*. 2022;10(2):29–37. doi:10.14500/aro.10970.
- [17] Birchha V, Nigam B. Feature Selection Techniques And Hyper Parameter Tuning Impact On Classifier Performance For Breast Cancer Detection. *Journal Of Pharmaceutical Negative Results*. 2022 Oct 8;13.
- [18] Krawczyk B. Learning from imbalanced data: open challenges and future directions. *Prog Artif Intell*. 2016;5(4):221–32. doi:10.1007/s13748-016-0094-0.